

ФОРМИРОВАНИЕ ПЛОТНЫХ САМОСЖАТЫХ
ЭЛЕКТРОННЫХ ПОТОКОВ

А. И. Павловский, В. С. Босамкин, В. С. Никольский

УДК 621.384.637

Исследовалось ускорение электронов в плазме импульсного вакуумного разряда при напряжении до 70 кв. Сформирован пучок быстрых электронов с плотностью тока $\sim 10^5$ а/см², развивающийся в плазменный шнур с плотностью тока $\sim 10^6$ а/см².

Для ряда задач, таких как получение плотной плазмы в термоядерных исследованиях, повышение качества рентгенографирования и т.д., необходимо формирование высокоплотных электронных потоков¹⁾. Из теории следует, что эффективность самосжатия зависит, главным образом, от первеанса пучка /1,2/.

Условия, в которых электроны проходят через плазму высокой плотности, осуществляются в процессе пробоя вакуумных или газовых промежутков, причем первеанс пучка в течение одного импульса изменяется от весьма малой величины, соответствующей предпробойным токам, до значения, определяемого внутренним соотивлением источника питания. Так как при ускорении в плазме электроны, по-видимому, получают практически всю энергию в прикатодном слое /3/, для экспериментального изучения самосжатых пучков выбрана схема разрядного промежутка с прикатодным изолитором /4/.

Установка представляет собой коаксиальный разрядный контур, состоящий из конденсаторов ИМУ-100-0,1, газонаполненного коммутатора и диэлектрической вакуумной камеры (диаметр 160 мм, высота

1) Сообщение о результатах настоящей работы сделано на Всесоюзной конференции "Разработка и практическое применение электронных ускорителей", г. Томск, 5-7 сентября 1972 г.

та 90 мм). Емкость батареи $10^{-7} + 2 \cdot 10^{-6}$ ф, индуктивность контура $10^{-7} + 3 \cdot 10^{-7}$ гн, зарядное напряжение $U_0 < 70$ кв. Капролоновый изолятор камеры имеет конусообразную, либо цилиндрическую прикатодную область. Вольфрамовый катод диаметром $3 + 10$ мм вводился по осевому отверстию в изоляторе, анод - алюминиевая фольга. Межэлектродное расстояние варьировалось в пределах $5 + 30$ мм. В опытах измерялись распределения тока и напряжения в камере и разрядной цепи. Импульс рентгеновского излучения регистрировался фотумножителем ФЭУ-30 с пластмассовым спиритиллятором. Для относительного измерения дозы использовался дозиметр "Объ". Сведения о размерах и поведении пучка быстрых электронов позволили получить снимки с помощью рентгеновской камеры - обскуры, а также наблюдения посредством электронно-оптической лупы времени. Абсолютное значение дозы и спектр рентгеновского излучения определялись методом поглощения.

Напряжение на вакуумной камере возрастает за $\sim 10^{-8}$ сек до амплитудного значения, в течение некоторого времени остается постоянным, затем, по истечении апериодического режима разряда, в контуре развиваются периодические колебания. В переходной апериодической фазе разряда вместе с ростом тока наблюдается рентгеновское излучение, заметная доля которого обнаруживается также в пределах первой четверти периода колебаний напряжения. Через некоторое время (вслед за первым максимумом тока при давлении $\sim 10^{-3}$ тор) по изолятору камеры развивается поверхностный разряд, в который ответвляется основной ток контура. Импульс анодного тока остается однополярным в течение нескольких полупериодов колебаний в цепи. Опережающее развитие поверхностного разряда в области давлений $> 10^{-3}$ тор ведет к сокращению длительности апериодической фазы (до нескольких десятков наносекунд) и резкому уменьшению выхода рентгеновского излучения. Часть тока (до 40% при давлении $2 \cdot 10^{-2}$ тор) в этих условиях протекает по объему камеры вне разрядного промежутка. При давлениях $< 10^{-3}$ тор остаточный газ не влияет на интенсивность излучения. Для зарядного напряжения $U_0 = 50$ кв доза излучения максимальна в интервале межэлектродных расстояний $l_{ak} = 10 + 20$ мм. Измеренная граничная энергия спектра электронов соответствует зарядному напряжению. Средняя энергия рентгеновского спектра ~ 35 кэв, его нижняя граница 15 кэв, доза на рас-

стоянии 0,5 м от анода с напыленным никелем $2 \text{ мк} - 5 \cdot 10^{-2} \text{ р}$. Выход излучения не изменяется с уменьшением емкости батареи от $2 \cdot 10^{-6} \Phi$ до $4 \cdot 10^{-7} \Phi$ (индуктивность возрастает с $8,6 \cdot 10^{-8} \text{ гн}$ до $1,5 \cdot 10^{-7} \text{ гн}$).

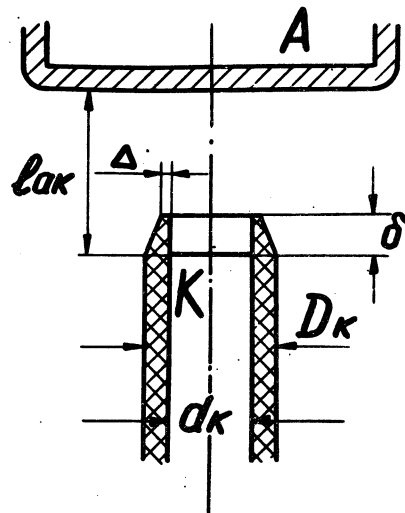


Рис. I. Конфигурация ускоряющего промежутка.
А - анод, К - катод

Для стабилизации электронного потока вакуумная конфигурация прикатодного изолатора, так как пучок обнаруживает сильную поперечную нестабильность при большой площади торца прикатодного изолатора. Окончательно выбранная конфигурация показана на рис. I. Пучок стабилизирует свое положение в центре анода, диаметр рентгеновского изображения 2 мм. Степень фокусировки критична к величине углубления катода в диэлектрике. При диаметре катода $d_K = 7 \text{ мм}$ выступающая кромка изолатора $\delta > 4 \text{ мм}$. Разброс показаний дозиметра не превышал $\pm 15\%$. Самоскатный пучок оказывает на анод механическое воздействие, которое использовалось для индикации потока быстрых электронов. На стабильность положения пучка оказывает влияние вибрации электродов (в основном, анода). Ток в конце апериодической фазы,

где активная составляющая напряжения $U_R \approx 7$ кв, составляет $\sim 3 \cdot 10^4$ а (отношение к алльвеновскому ~ 10) при $C = 4 \cdot 10^{-7}$ ф, $L = 1,5 \cdot 10^{-7}$ гн, $U_0 = 60$ кв. Плотность тока электронов, вносящих основной вклад в интенсивность рентгеновского излучения, $\sim 10^5$ а/см². Типичная картина развития разряда показана на рис. 2. В апериодической фазе вакуумный зазор заполняется плазмой, которая формиру-

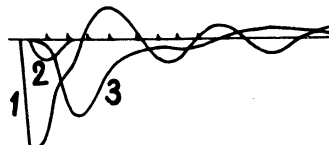


Рис. 2. Осциллограммы напряжения на камере (1), рентгеновского излучения (2) и анодного тока (3). Интервал между временными метками луны времени $3 \cdot 10^{-7}$ сек. $C = 4 \cdot 10^{-7}$ ф, $U_0 = 60$ кв, $I_{\max} = 80$ ка, давление 10^{-3} тор, $l_{ak} = 15$ мм, вакуумный зазор 10 мм, $d_k = 5$ мм, $\Delta = 1,5$ мм $D_k = 11$ мм

ет плотный шнур, существующий в самоскатом состоянии в течение всего характерного времени протекания анодного тока $\sim 10^{-6}$ сек.

С уменьшением тока наблюдается интенсивный разлет плазмы. В максимуме анодного тока $I = 8 \cdot 10^4$ а видимый диаметр шнура составляет ~ 3 мм, плотность тока $\sim 10^6$ а/см², магнитное поле ~ 10 тл, магнитное давление ~ 500 ат.

Формированию самоскатых пучков способствует образование затравочной плазмы по кольцевой границе катода с изолитором, фокусировка электронов на начальном этапе разряда полем поверхностных зарядов прикатодного изолитора и ограничение количества материала, поступающего с анода, малыми размерами фокусного пятна. Продельное сжатие электронного потока определяется противодействием давления плазмы давлению магнитного поля пучка. Ускоряющее поле в межэлектродном зазоре соответствует активной составляющей напряжения $U_R = IR(t)$. С ростом перввеанса свойства компенсированного пучка все меньше отличаются от свойств плазменного шнурка с током. В частности, в результате экспериментов по выводу пучка установлено, что высокопервеанский пучок, замыкаясь на стекни трубы

дрейфа, распространяется вдоль нее под действием давления магнитного поля. Описанный метод перспективен для формирования сверхплотных релятивистских пучков.

Поступила в редакцию
1 сентября 1973 г.

Л и т е р а т у р а

1. J. D. Lawson. J. El. and Contr., 5, 146 (1958).
2. В. С. Босамыкин. ИТФ, 40, II73 (1970) ИТФ, 41, 535 (1971).
3. В. С. Босамыкин, А. И. Павловский. ИТФ, 9, 2002 (1971).
4. H. M. Epstein et al. 8 Int. Conf. Phen. in Ion. Gases, Vienna, August 27-Sept. 2, 1967, p.372.